

Aeroelastische Untersuchung eines Wasserstoff-Brennstoffzellen-Regionalflugzeuges mit verteilten Antrieben

Hecken Tobias¹, Müller Simon², Schulze Matthias¹, Klimmek Thomas¹
¹Institut für Aeroelastik Göttingen
²Institut für Systemarchitekturen in der Luftfahrt Hamburg

Session: Aeroelastik 13:45-15:50 – 25.09.2025 Session chair: Herr Prof. Dr.-Ing Tichy



Motivation

DLR

Ziel: Reduktion von CO2- and Nicht-CO2-Effekten (ACARE)

- Neuartige Flugzeugkonfigurationen
- Neue Antriebskonzepte
- ➤ Einfluss auf die Flugzeugzelle (strukturmechanisch, Lasten)

Aura Aero ERA – hybrid elektrisch



Airbus ZEROe



Airbus Aerostack GmbH - Brennstoffzelle



MTU Flying Fuel Cell



Heart Aerospace CS30 - hybrid elektrisch



Elysian E9X - elektrisch



//www.airbus.com/en/innovation/energy-transition/hydrogen/zeroe

2

Inhalt



- Überblick ZEBRA Projekt LuFo VI-3
- ZEBRA-Konfigurationen
- Aeroelastische Modellierung
- Ergebnisse
- Zusammenfassung & Ausblick

TUHH Technische Universität Hamburg

Zero Emission Baselined and Refined Architecture

Gesamtflugzeugentwurf Wasserstoff-Brennstoffzellen-Flugzeug







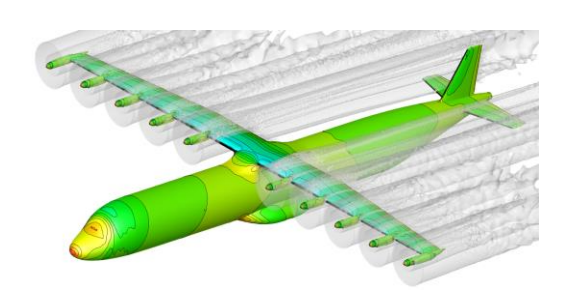
Gefördert durch:





Zero Emission Baselined and Refined Architecture

- Gesamtflugzeugentwurf Wasserstoff-Brennstoffzellen-Flugzeug
- Effizienzsteigerung durch optimale aerodynamische Antriebsintegration









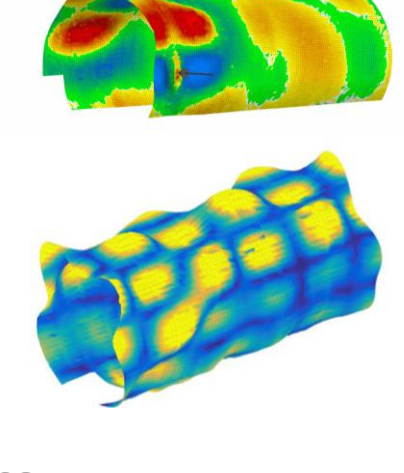
Gefördert durch:

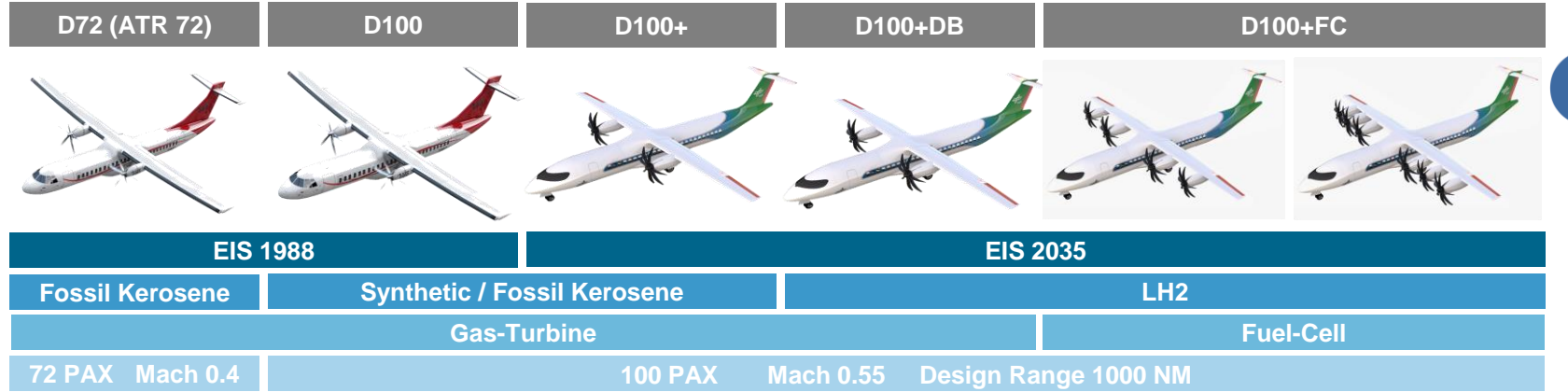


AIRBUS TUHH Technische Universität Hamburg

Zero Emission Baselined and Refined Architecture

- Gesamtflugzeugentwurf Wasserstoff-Brennstoffzellen-Flugzeug
- Effizienzsteigerung durch optimale aerodynamische Antriebsintegration
- Vibroakustische Kabinenlärmuntersuchung zur Marktakzeptanz









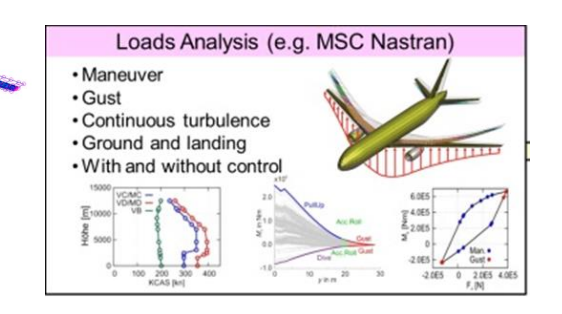
Gefördert durch:

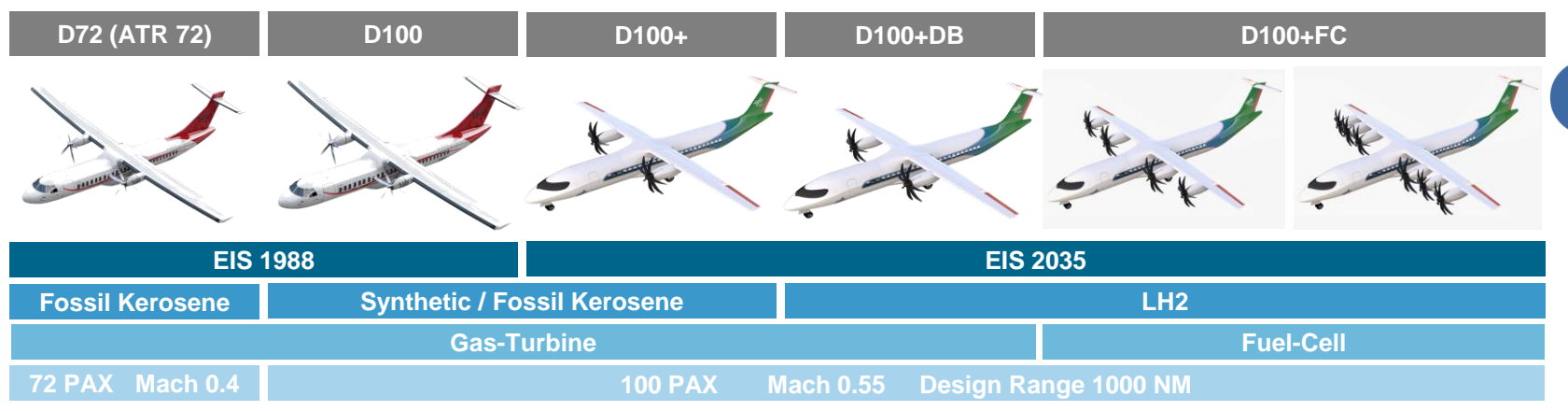




Zero Emission Baselined and Refined Architecture

- Gesamtflugzeugentwurf Wasserstoff-Brennstoffzellen-Flugzeug
- Effizienzsteigerung durch optimale aerodynamische Antriebsintegration
- Vibroakustische Kabinenlärmuntersuchung zur Marktakzeptanz
- Strukturvorentwurf und Lastanalyse









Gefördert durch:

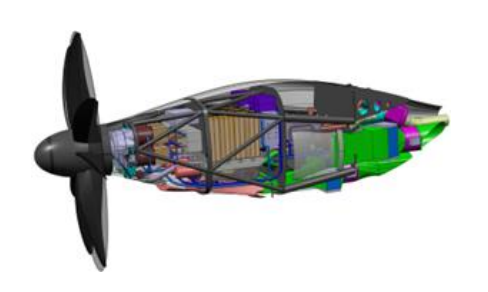


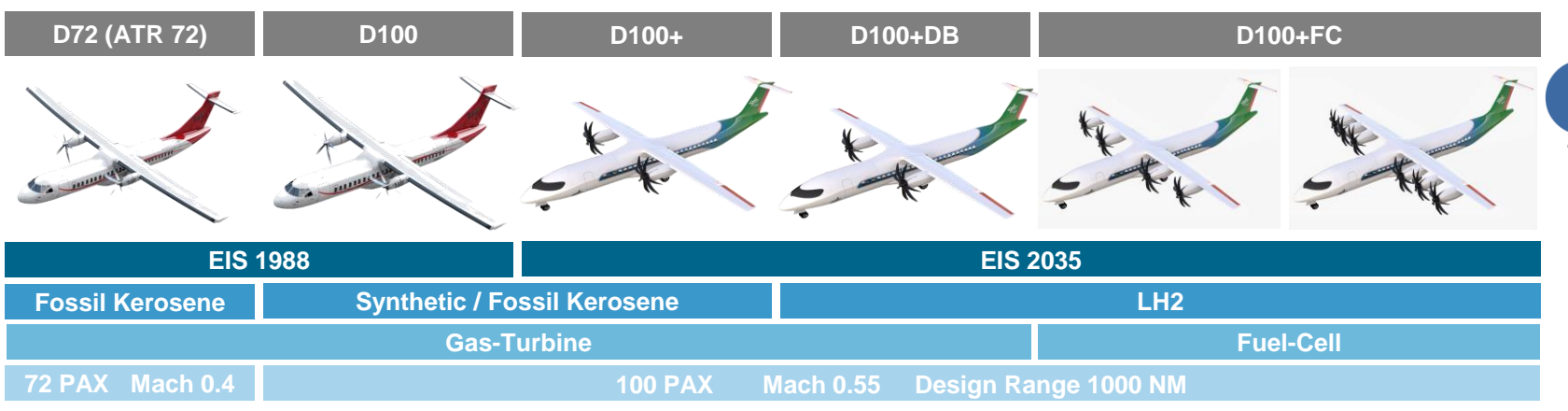


Zero Emission Baselined and Refined Architecture

- Kooperation mit Clean Aviation FAME (Fuel cell propulsion system for Aircraft Megawatt Engines)
- Austausch über eine sogenannte Research Baseline
- Austausch mit FAME bzgl. Wärmetauscher Auslegung











Gefördert durch:



ft: feet NM: nautische Meilen EIS: Entry into service MO: maximum operating

EAS: Equivalent airspeed

TLARs	
Design Reichweite	1000 NM
Design Machzahl	0.55
Max. Betriebs-Machzahl Ma_{MO}	0.60
Max. Betriebsgeschwindigkeit $v_{\scriptscriptstyle MO}$	130 m/s
Max. Nutzlast 100 PAX à 95 kg	9500 kg
Max. Flughöhe	27000 ft
Spanweite	24 m < b < 36 m
Max. Startbahnlänge	1400 m
LH2 Tanks	2
Leistungsdichte elektrischer Motor	5 kW/kg
Leistungsdichte Wärmetauscher	3 kW/kg
Brennstoffzellenwirkungsgrad	55 %
Inbetriebnahme (EIS)	2035



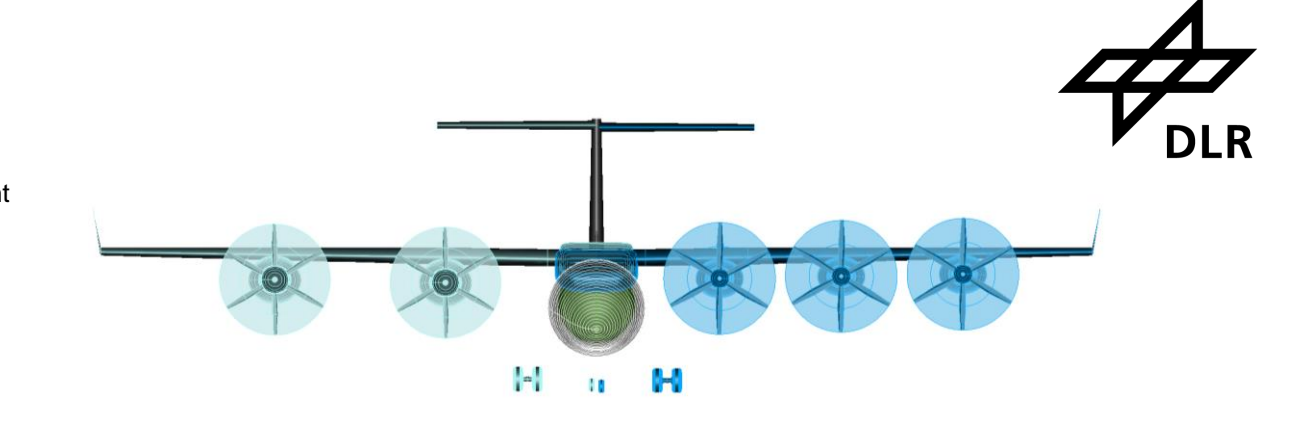


Unterschiede

OEM: Leermasse

MZFM: Null-Treibstoff Gewicht MTOM: Max. Abflugmasse

- > Anzahl Gondeln & Propeller
- > Propellerfläche (AK größer als RB)
- > Innenliegender TP näher an Kabine



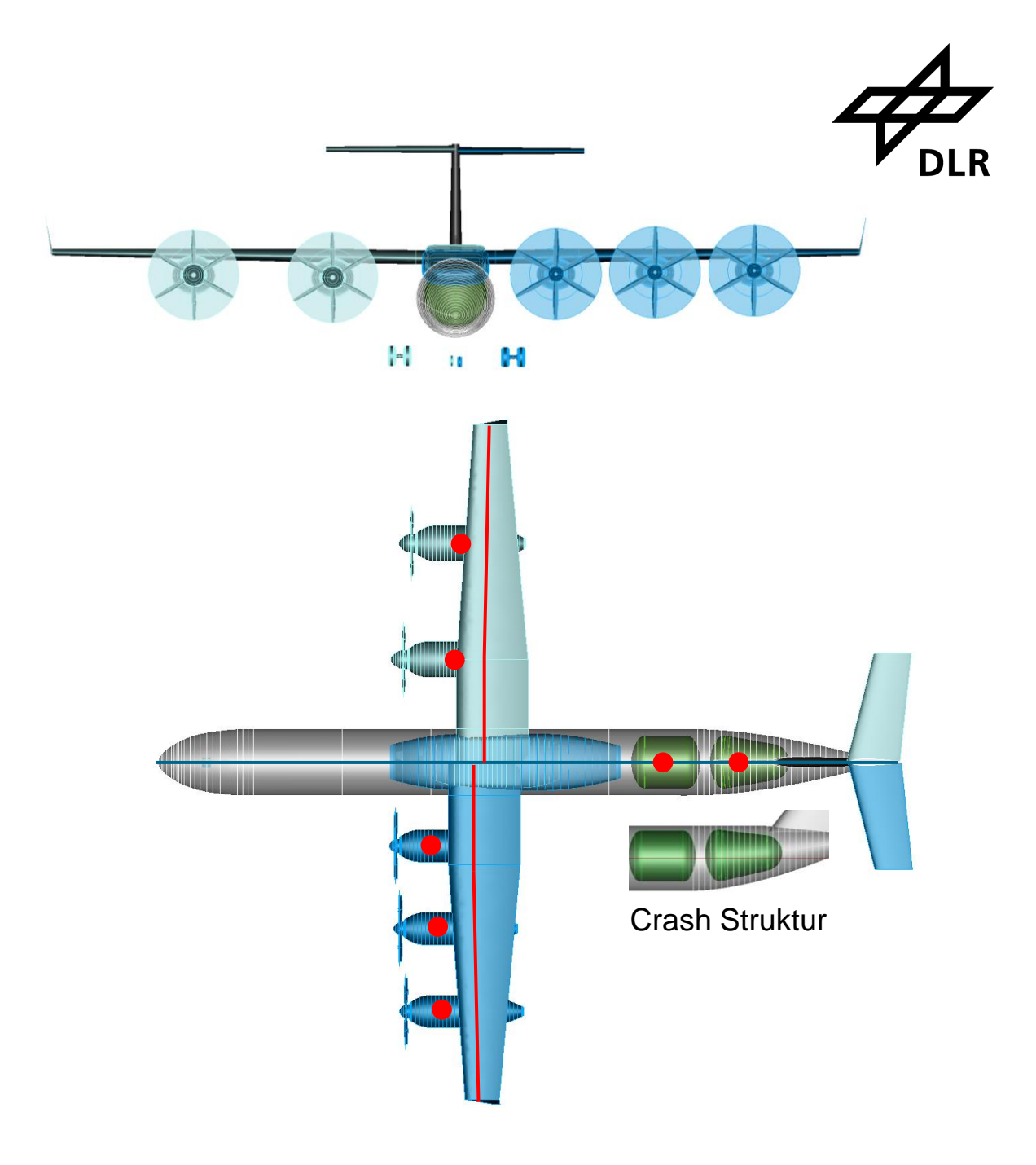
Unterschiede

OEM: Leermasse

MZFM: Null-Treibstoff Gewicht MTOM: Max. Abflugmasse

- ➤ Anzahl Gondeln & Propeller
- ➤ Propellerfläche (AK größer als RB)
- > Innenliegender TP näher an Kabine
- > Massenkonfiguration und Schwerpunktlage

Parameter [kg]	RB	AK
Treibstoff	1574	1585
Tank 1	1246	1236
Tank 2	1137	1121
Triebwerk	3090	2081



Unterschiede

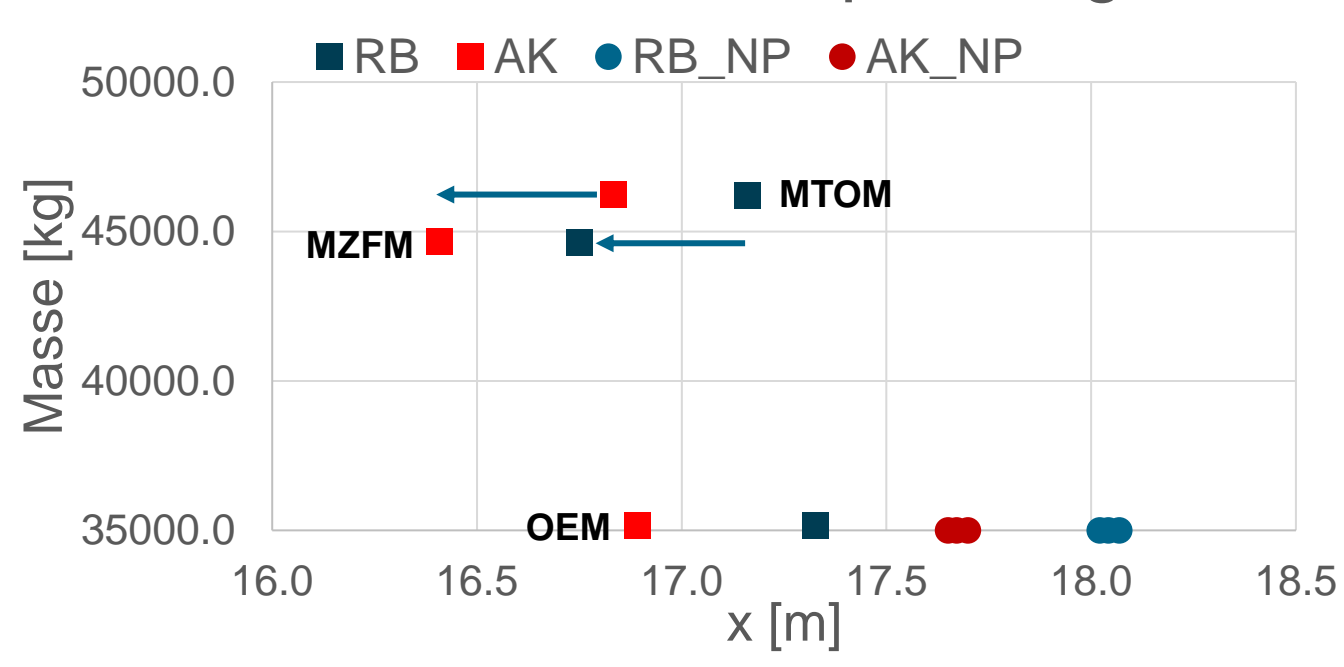
OEM: Leermasse

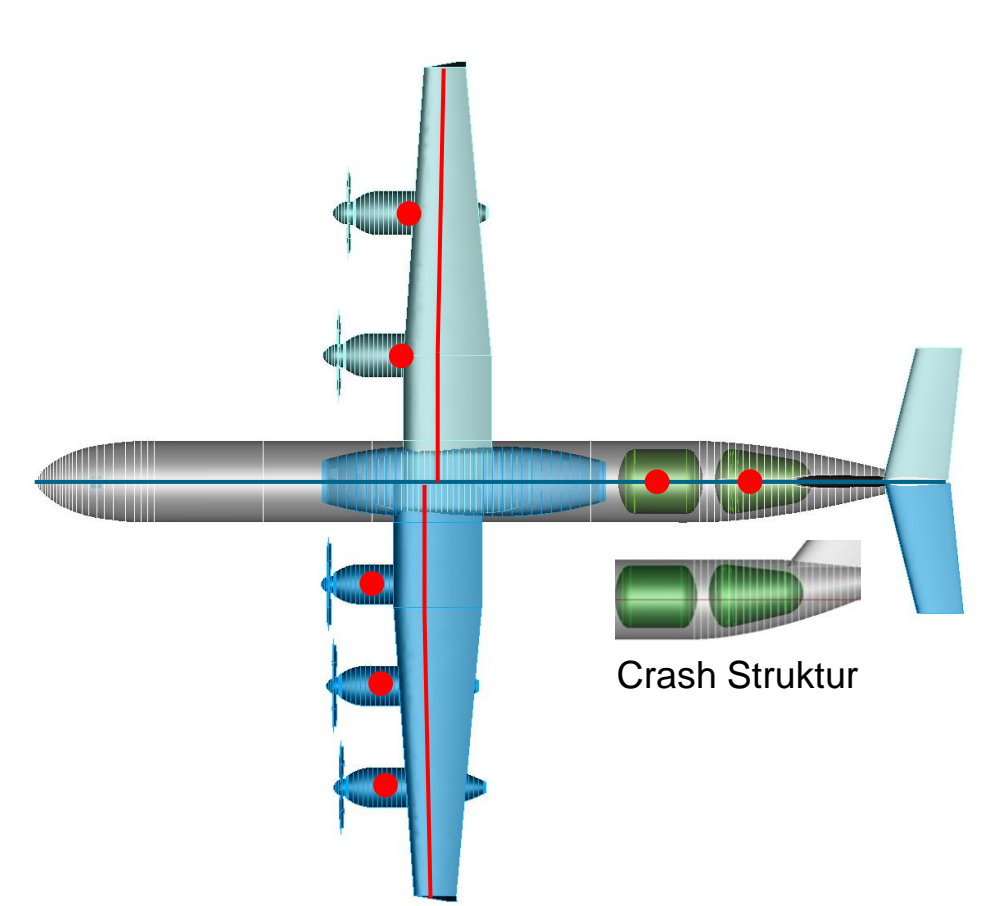
MZFM: Null-Treibstoff Gewicht

MTOM: Max. Abflugmasse

- ➤ Anzahl Gondeln & Propeller
- Propellerfläche (AK größer als RB)
- ➤ Innenliegender TP näher an Kabine
- Massenkonfiguration und Schwerpunktlage

Schwer- und Neutralpunktlage







Simulationsparameter

OEM: Leermasse

MZFM: Null-Treibstoff Gewicht MTOM: Max. Abflugmasse

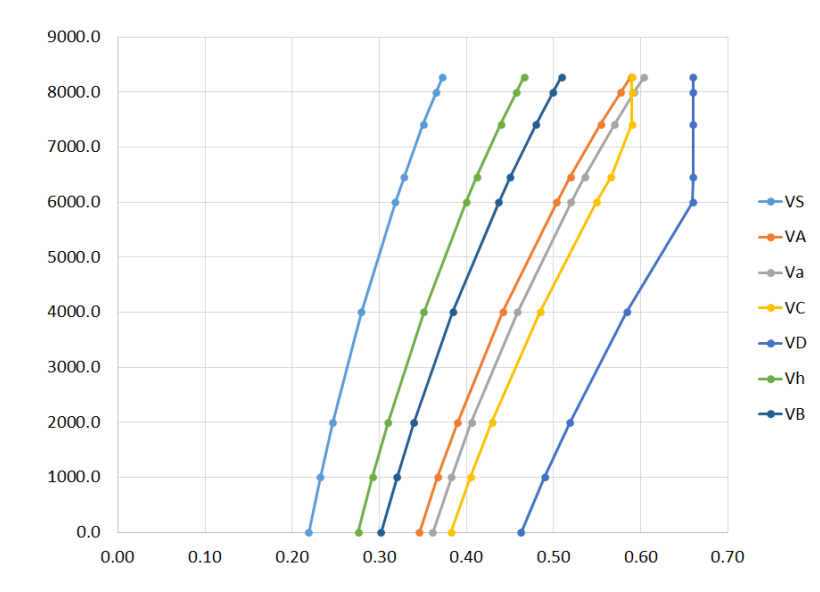
F	L:	FΙ	ia	ht	le۱	∕el

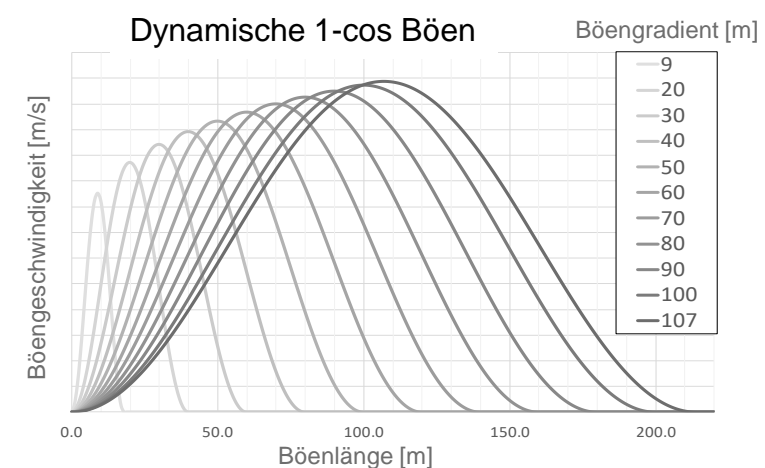
Parameter	Anzahl	Beschreibung
Massenkonfiguration	3	OEM MTOM MZFM
Flughöhen	3-6	FL000 , FL150 , FL200, FL222 , FL250, FL270
Geschwindigkeiten	5	v_S, v_A, v_B, v_C, v_D
Böengradienten	CS25: 11	Zwischen 9 m und 107 m
Manöverarten	4	2.5g pull-up -1g push-down Gieren (stetig, beschleunigt, +/-) Rollen (stetig, beschleunigt, +/-)
Boden- und Landelasten	14	CS25 quasi-statisch

Rumpffahrwerk

~1000 Lastfälle

> Reaktionslasten am Flügel

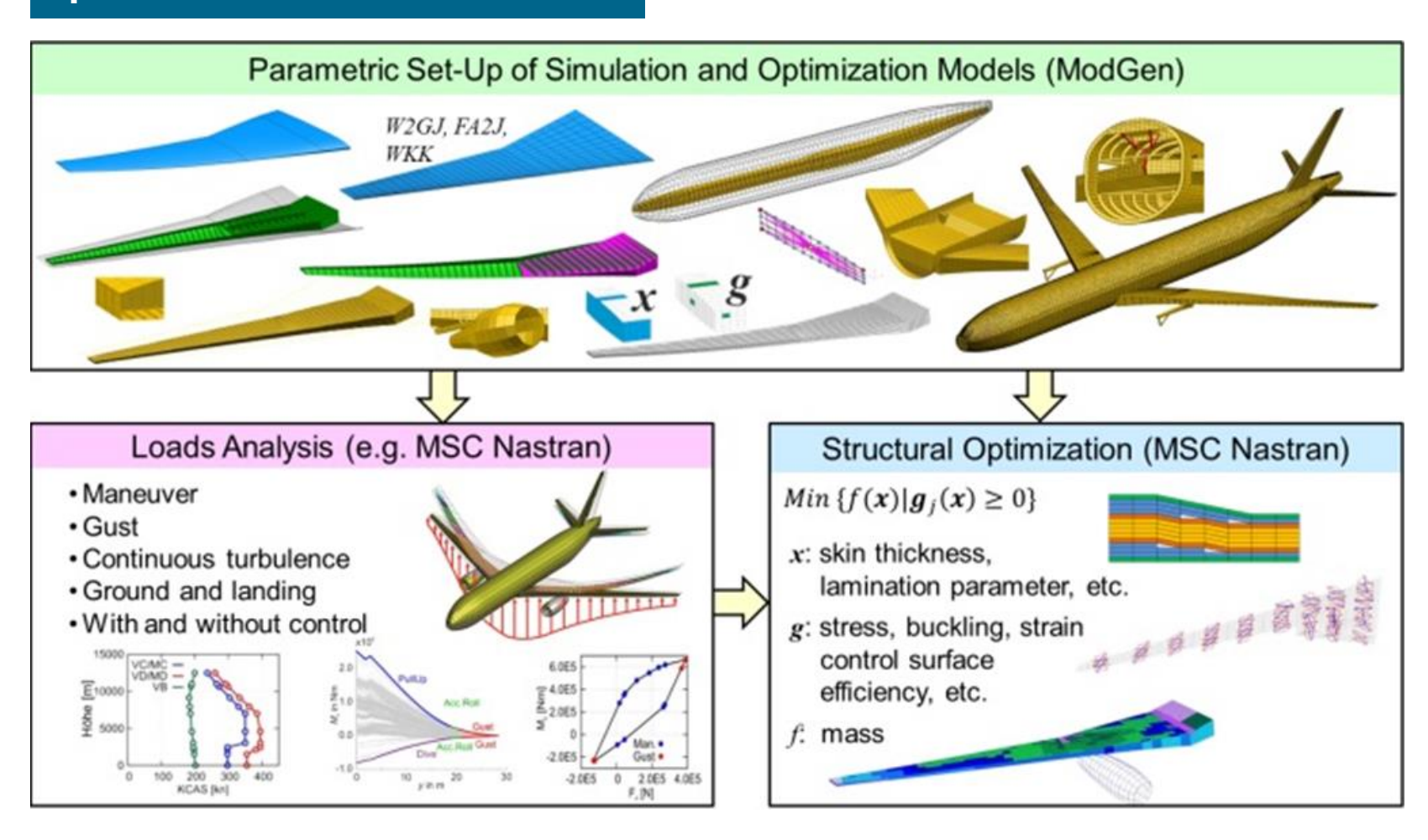






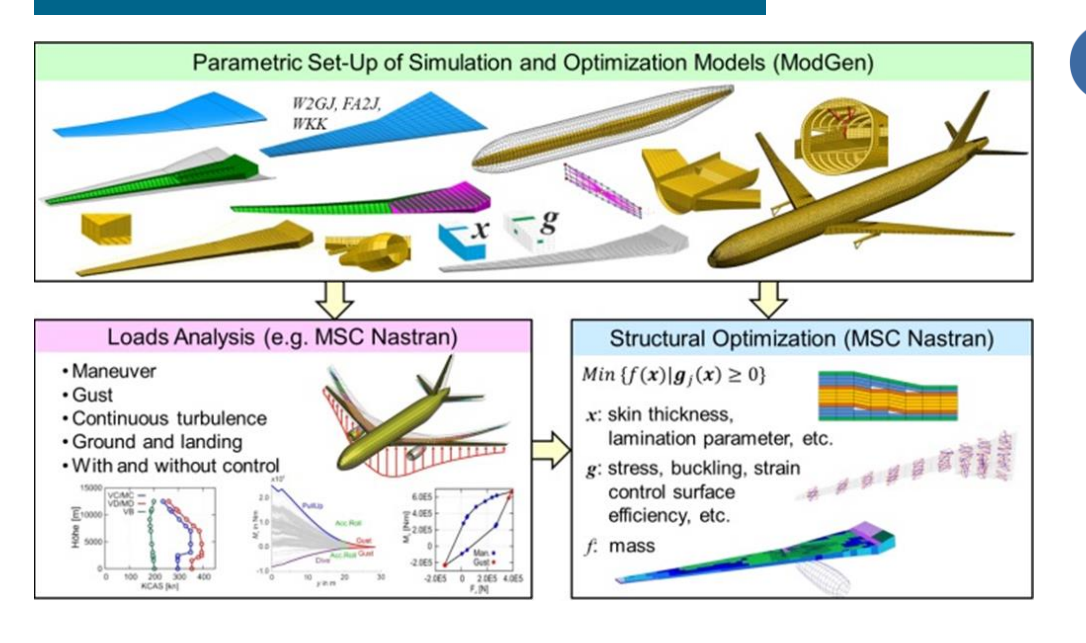


cpacs-MONA





cpacs-MONA



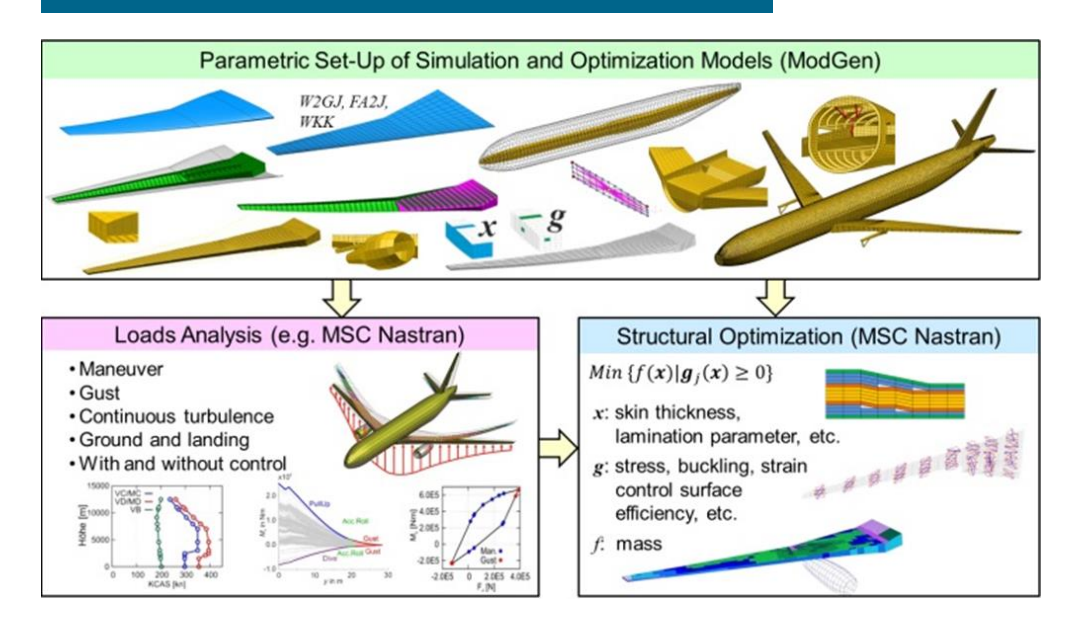
CPACS Modelle



- Massen
- Geometrie
- Struktur Topologie (Rippen, Spanten, Dicken)
- ...

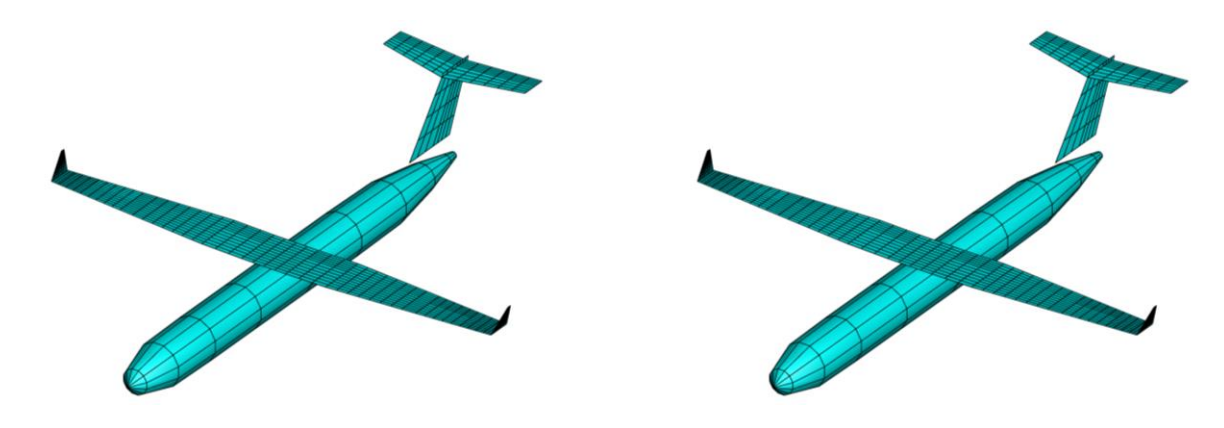


cpacs-MONA



Aerodynamische Modelle

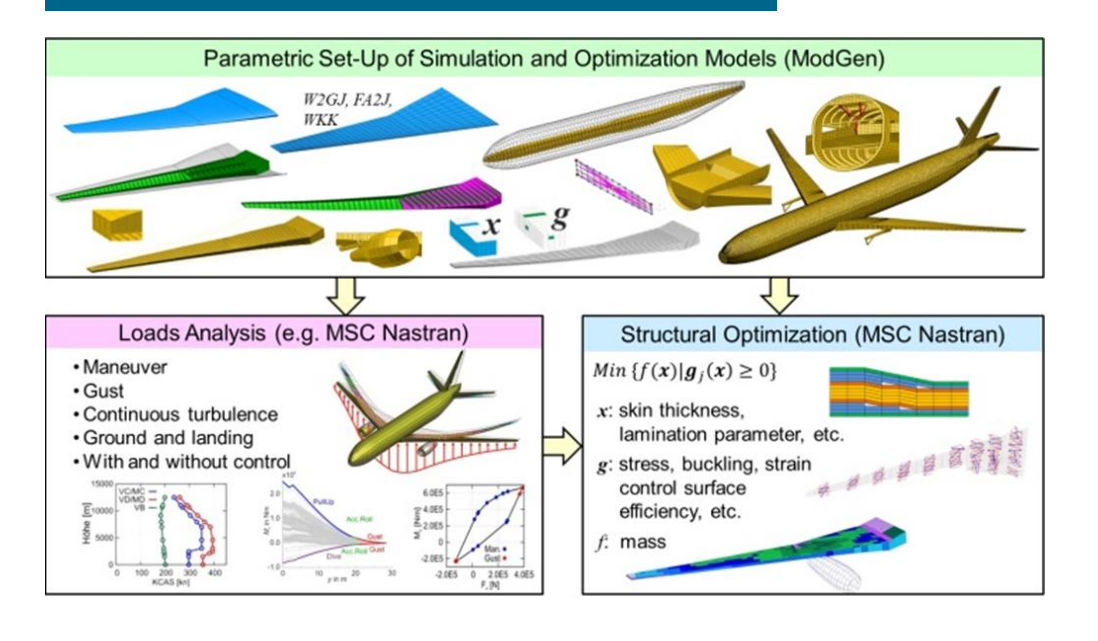
VLM: Vortex lattice method DLM: Doublet lattice method



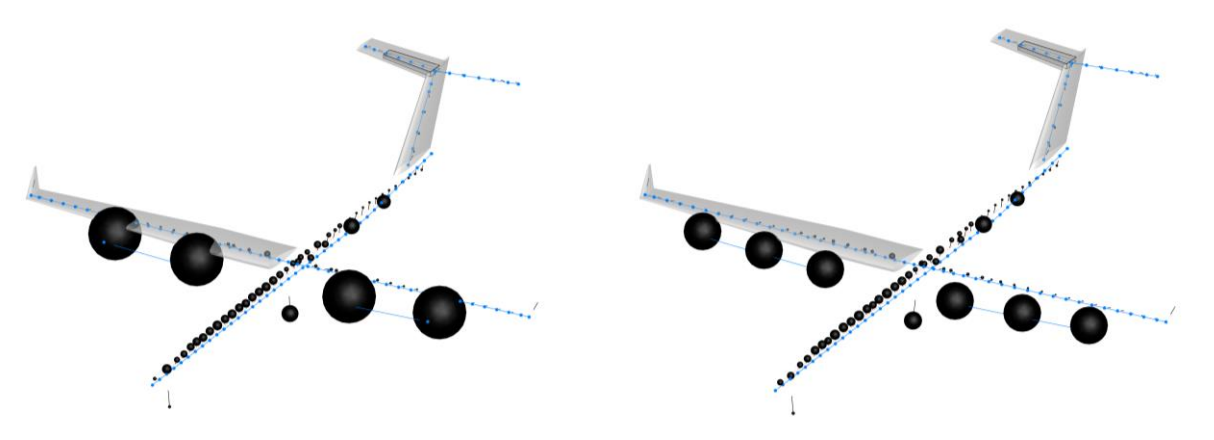
- Cleaner Flügel
 - Keine Propellerlasten
 - Keine Gyroskopie
 - Keine überströmten Flügeleffekte
- DLM/VLM WKK Korrektur $C_{l\alpha}$ 1.2 für Flügel
- slender body für den Rumpf



cpacs-MONA



Massen Modelle

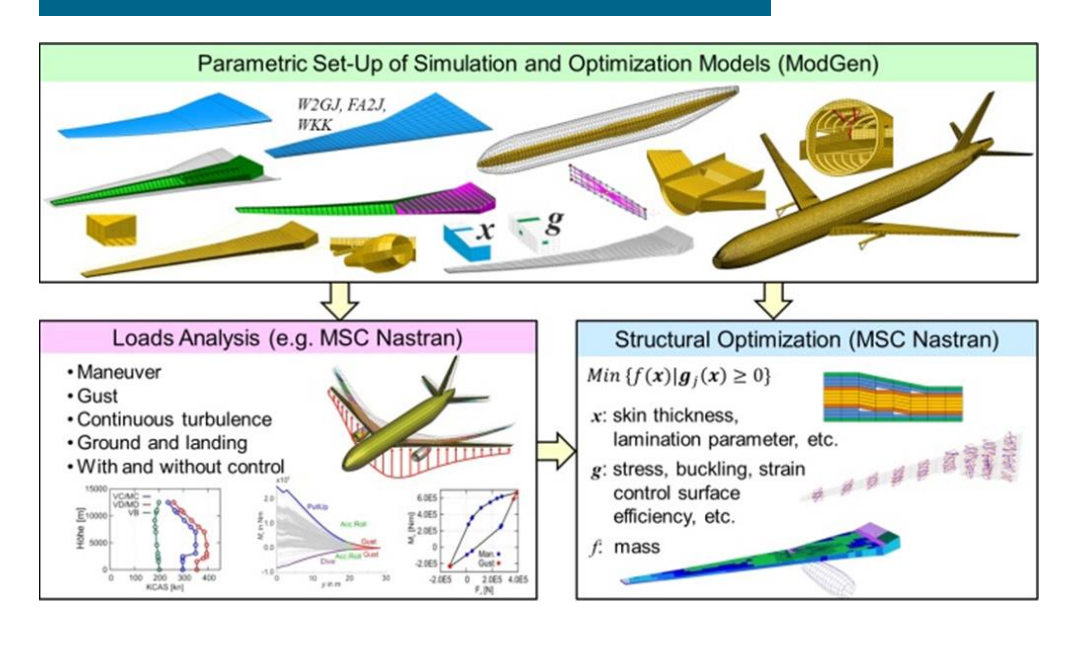


Verteilung der Massen mit Berücksichtigung der Massenträgheitsmomenten:

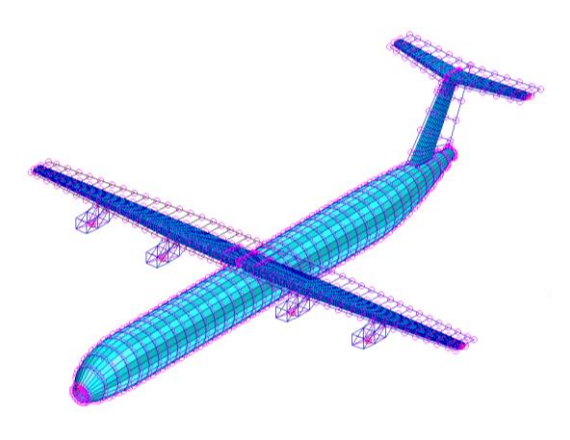
- Rumpf
- Kabine
- Nutzlast
- Systeme
- Flügel, Höhenleitwerk, Seitenleitwerk
- ...



cpacs-MONA

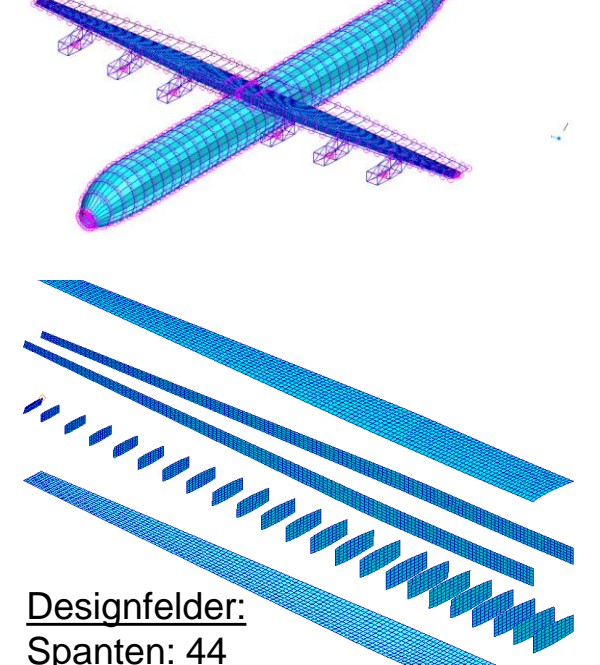


Globale Finite Elemente Modelle



- **CQUAD**
- **CBAR**
- RBE2
- RBE3

Material: Aluminium Minimale Hautdicke 2 mm

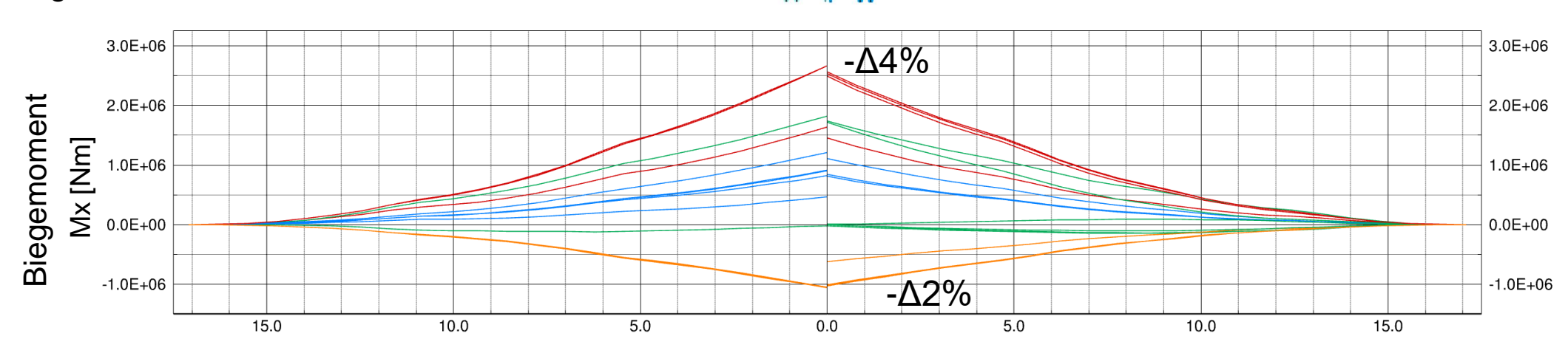


Designfelder: Spanten: 44 Rippen: 23

Hautfelder: 44

Biege- und Torsionsmomente



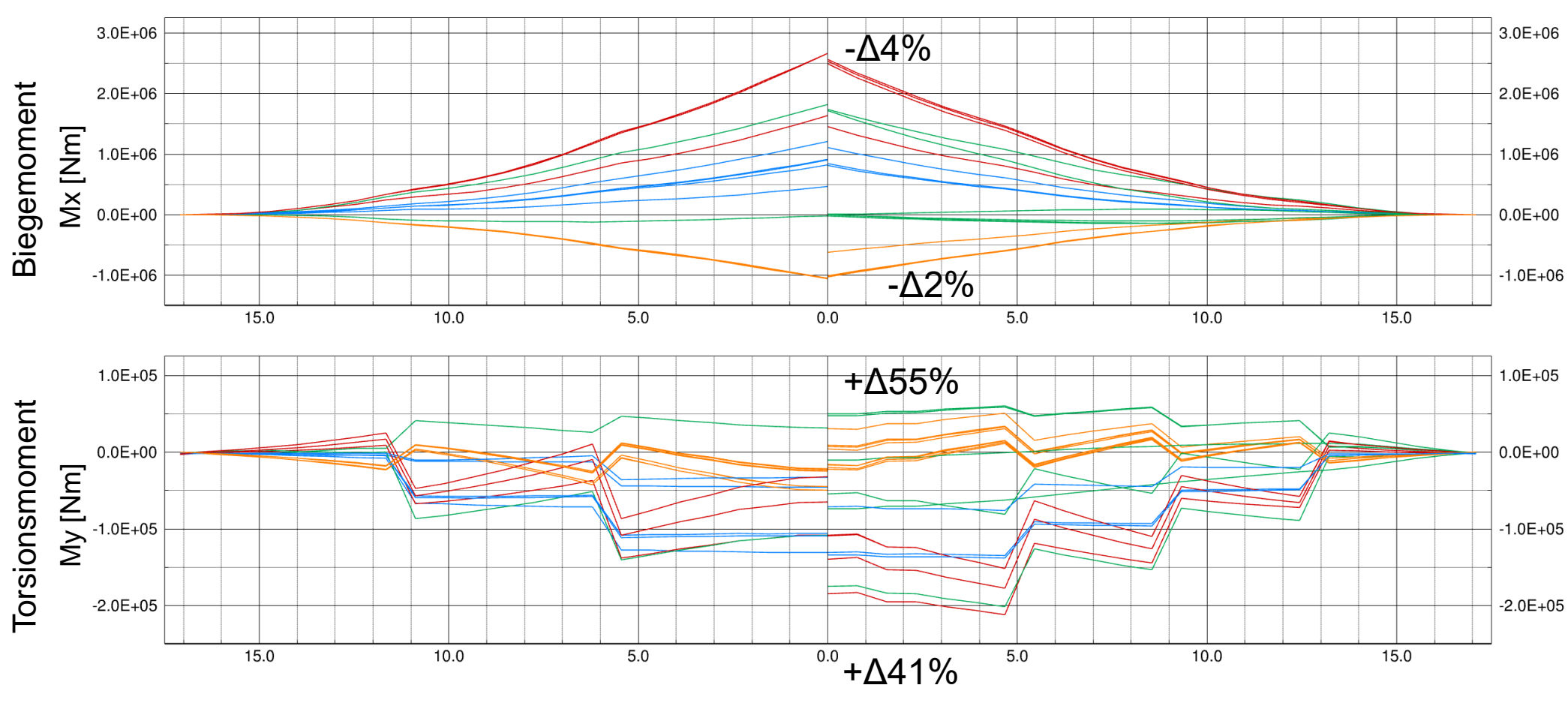




Biege- und Torsionsmomente



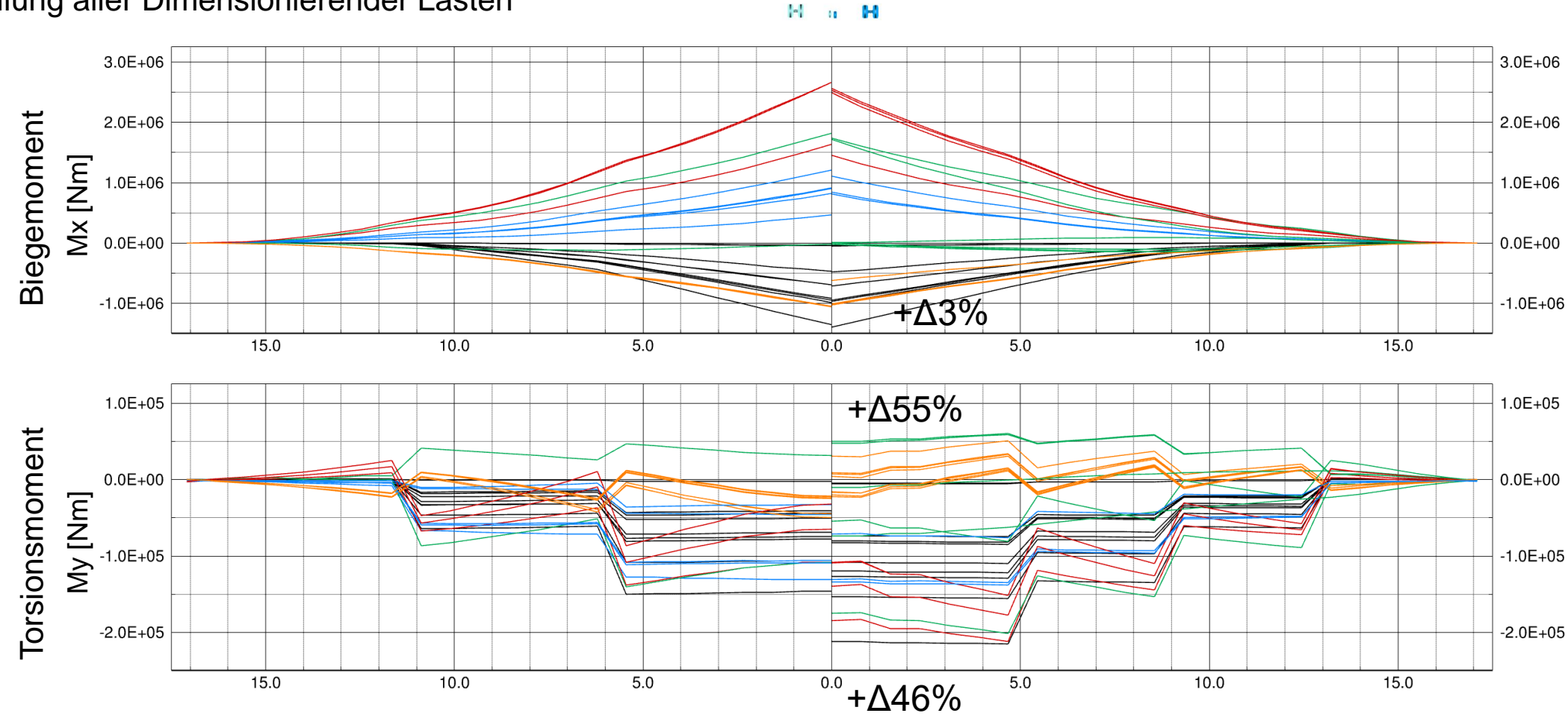






Biege- und Torsionsmomente

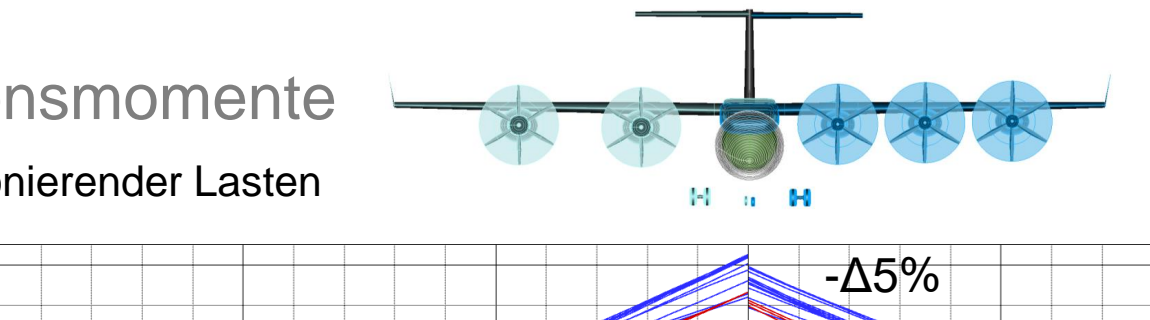


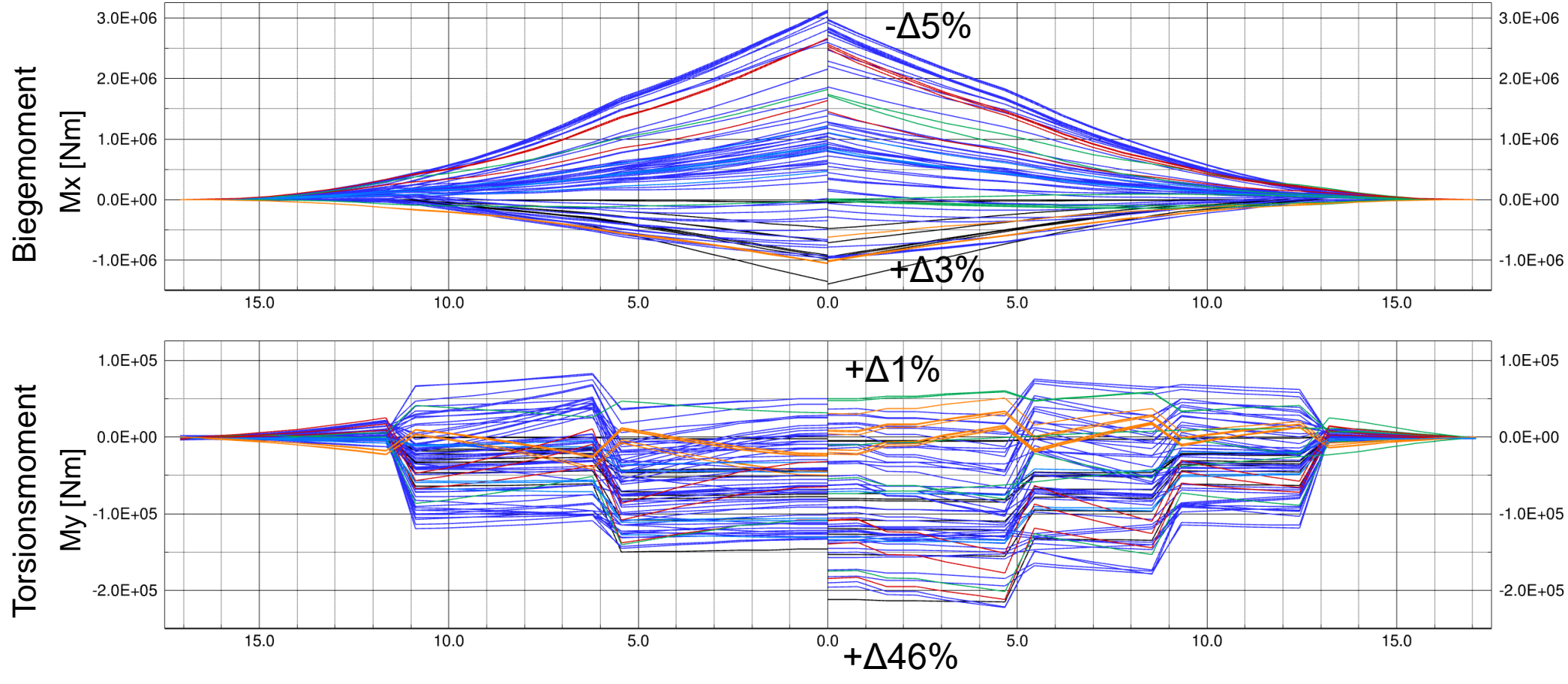




Biege- und Torsionsmomente



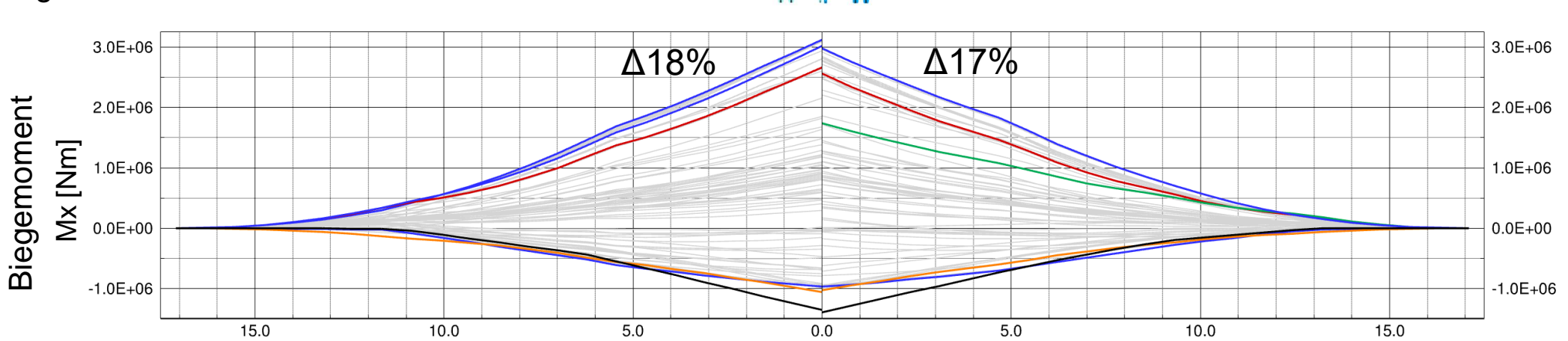




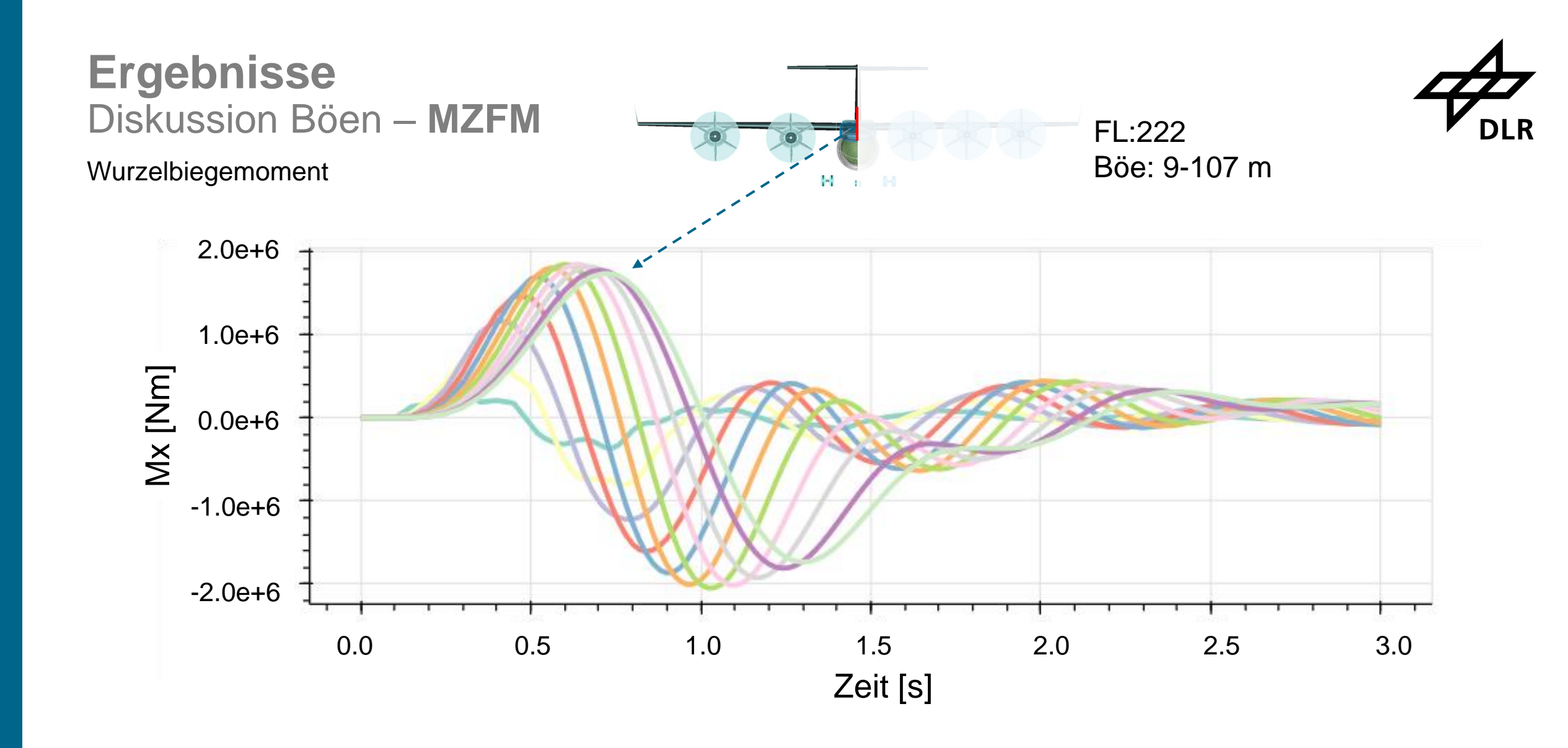


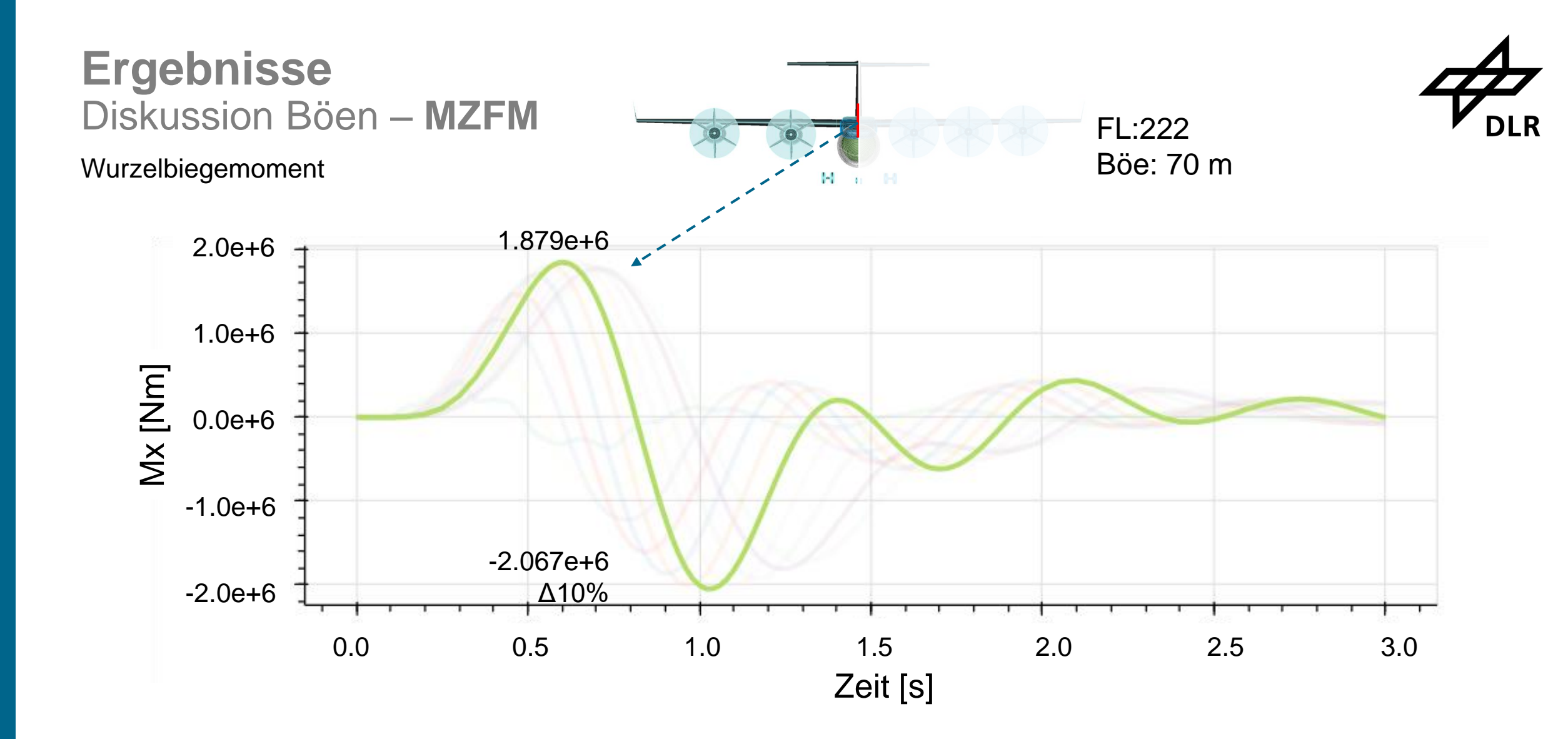
Biege- und Torsionsmomente



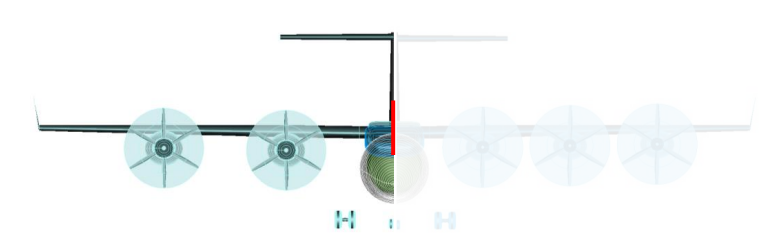






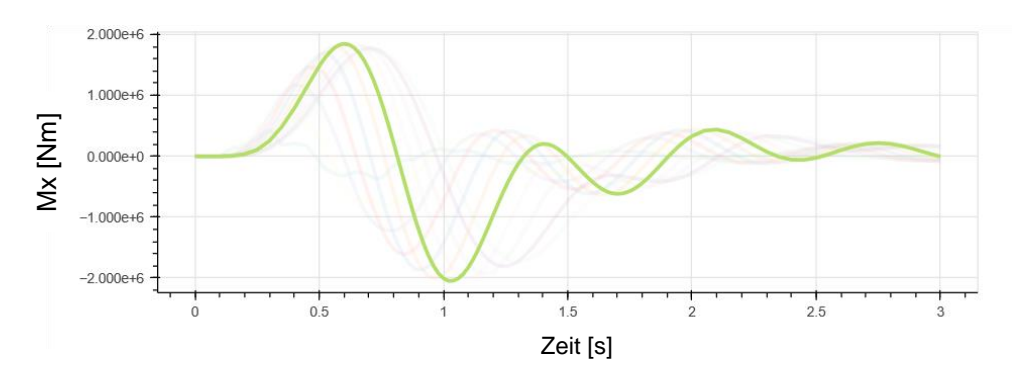


Diskussion Böen – MZFM



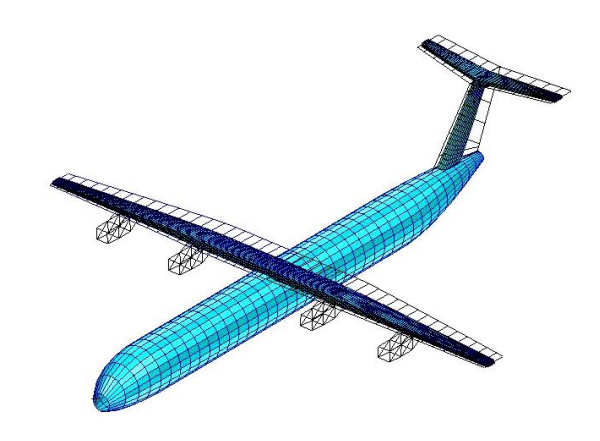


FL:222 Böe: 70 m

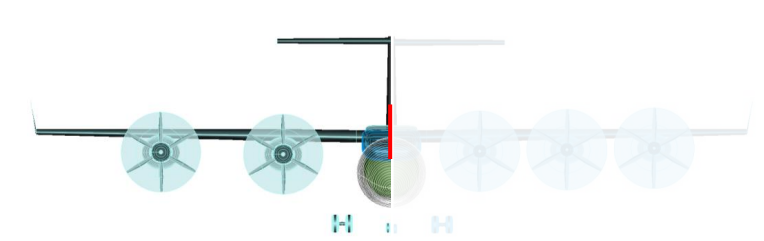


Massefall	1. Biegefrequenz	short period
MZFM	1.553 Hz	0.460 Hz

Längsstabilitätsmaß: ~40 %



Diskussion Böen – MZFM



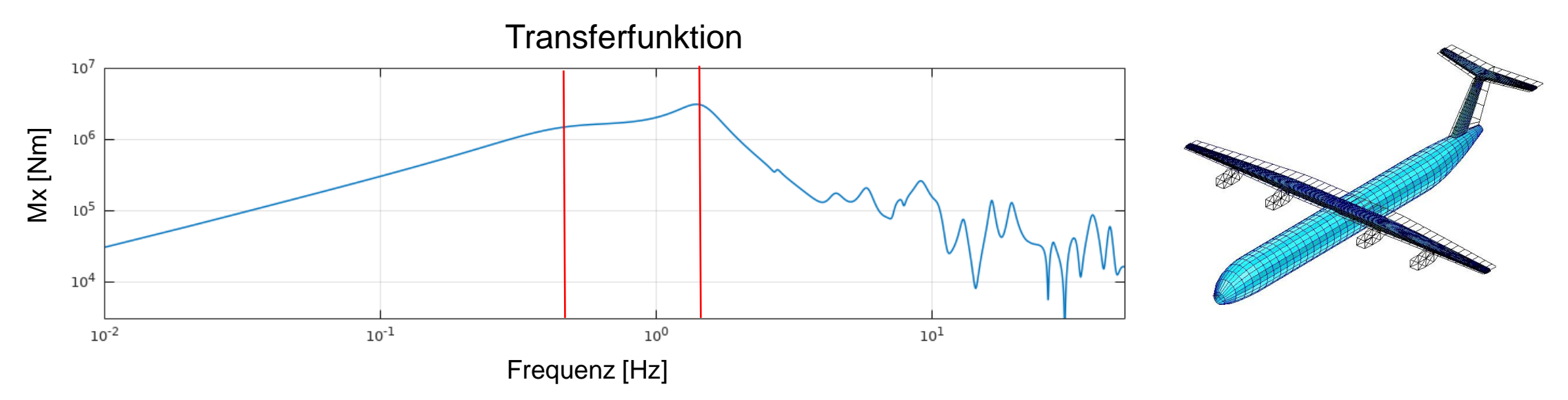


FL:222 Böe: 70 m

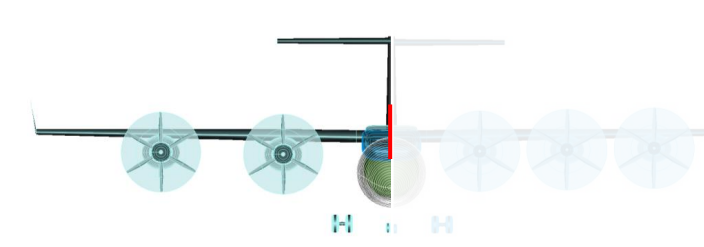
	2.000e+6							
_	1.000e+6							
Mx [Nm]	0.000e+0							
ŝ	-1.000e+6							
	-2.000e+6							
		Ō	0.5	1	1.5	2	2.5	3
					Zeit [s]			

Massefall	1. Biegefrequenz	short period
MZFM	1.553 Hz	0.460 Hz

Längsstabilitätsmaß: ~40 %



Diskussion Böen - MZFM





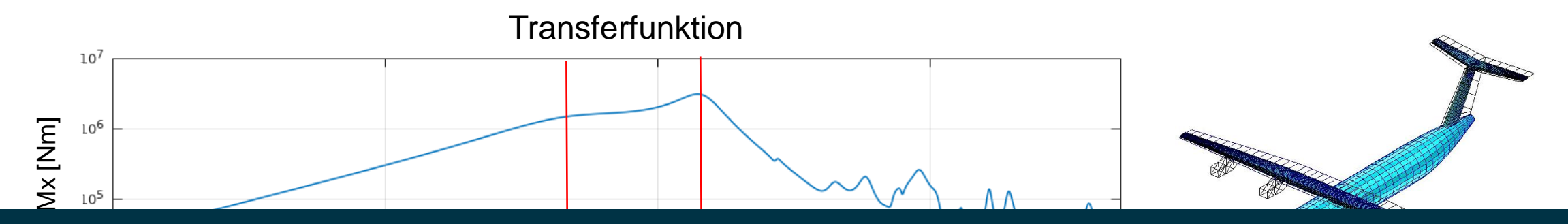
FL:222 Böe: 70 m

2.000e+6 1.000e+6 2.000e+0 -1.000e+6 -2.000e+6

Zeit [s]

Massefall	1. Biegefrequenz	short period
MZFM	1.553 Hz	0.460 Hz

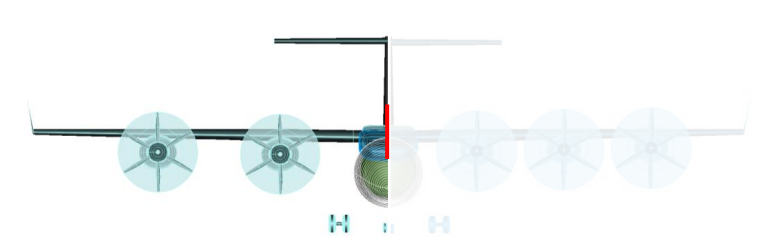
Längsstabilitätsmaß: ~40 %



Kopplung Flugmechanik mit Flügelelastik im MZFM Fall

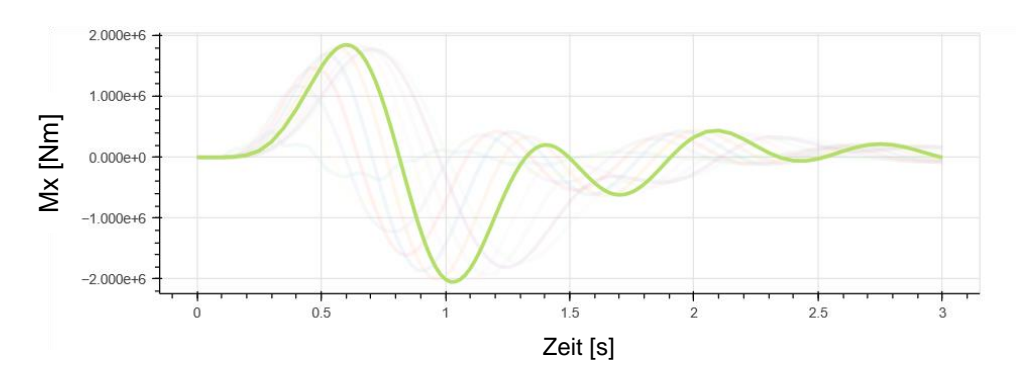
- > Stabilitätsmaß durch Schwerpunktlage reduzieren
- > Regelung

Diskussion Böen – MZFM



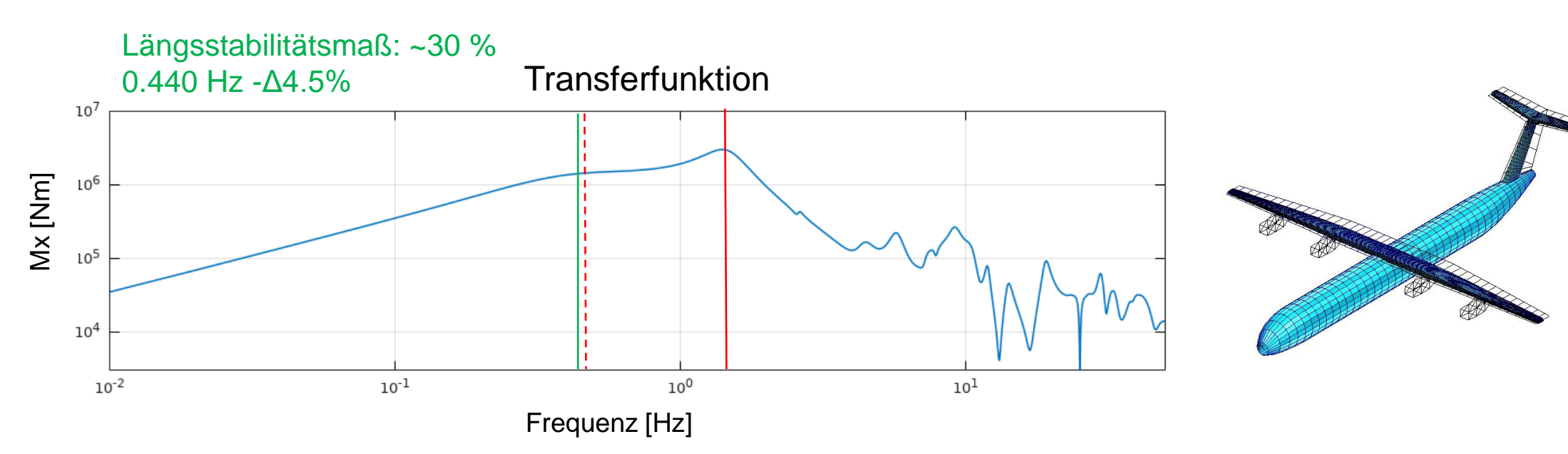


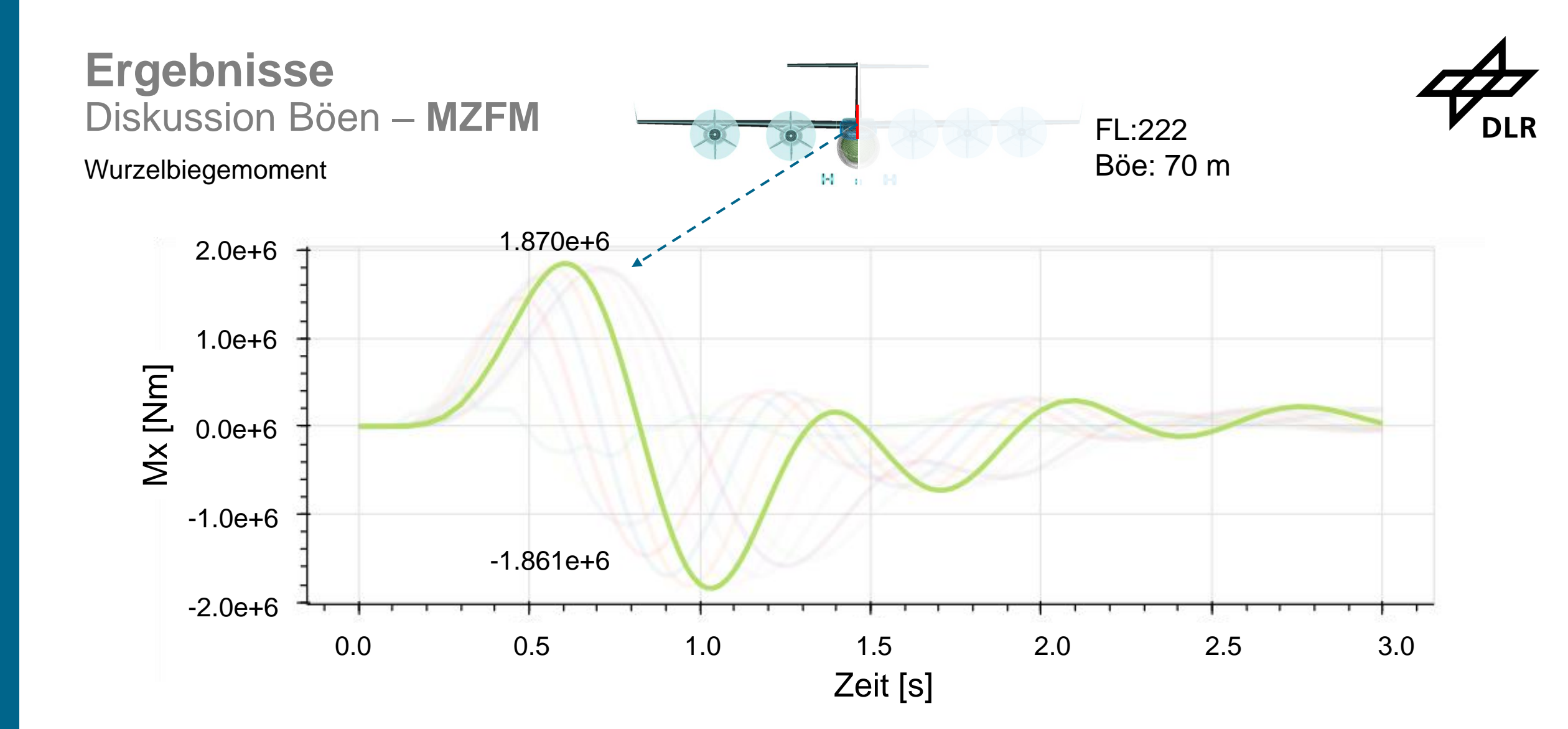
FL:222 Böe: 70 m



Massefall	1. Biegefrequenz	short period
MZFM	1.553 Hz	0.460 Hz

Längsstabilitätsmaß: ~40 %

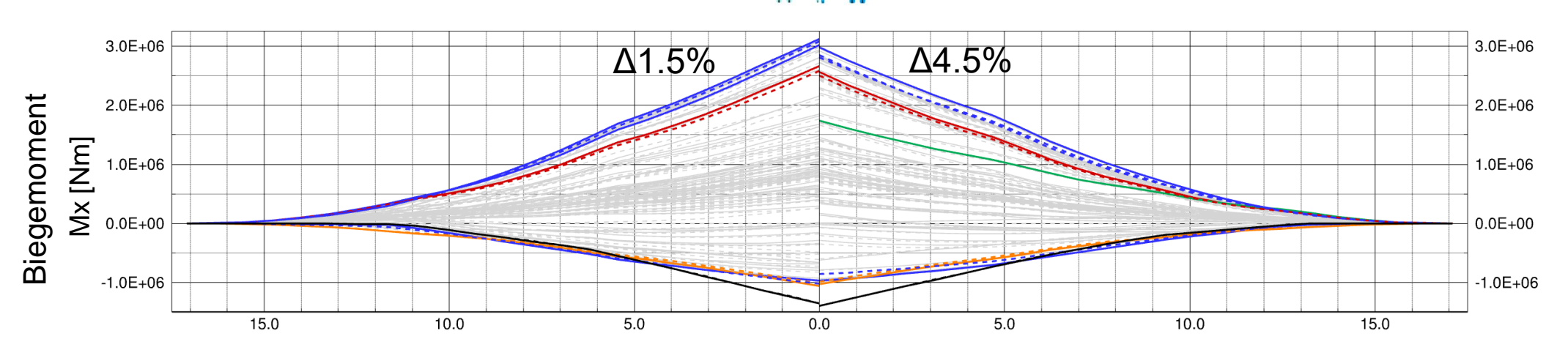




ErgebnisseDiskussion Böen







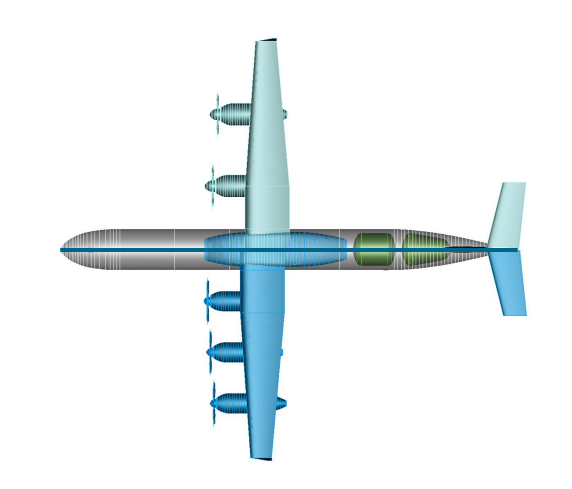
➤ Böen sind in großen Teilen nach wie vor dimensionierend

ErgebnisseDiskussion Böen

TAS: True airspeed

Н	FL000	FL150	FL222
9	7.222	8.983	9.971
20	3.250	4.042	4.487
30	2.167	2.695	2.991
40	1.625	2.021	2.244
50	1.300	1.617	1.795
60	1.083	1.347	1.496
70	0.929	1.155	1.282
80	0.813	1.011	1.122
90	0.722	0.898	0.997
100	0.650	0.808	0.897
107	0.608	0.756	0.839

1. Biegung	RB	AK
MTOM	1.542	1.361
MZFM	1.546	1.365
OEM	1.622	1.431

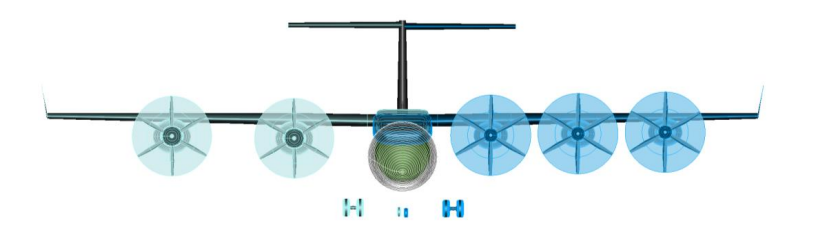




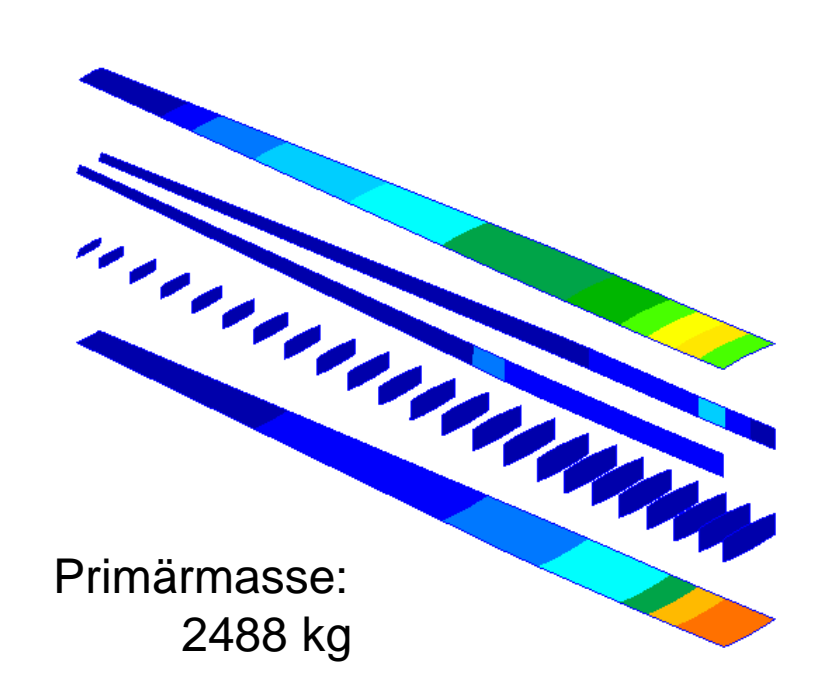
$$f_{B\ddot{o}e} = \frac{V_{TAS}}{2H}$$

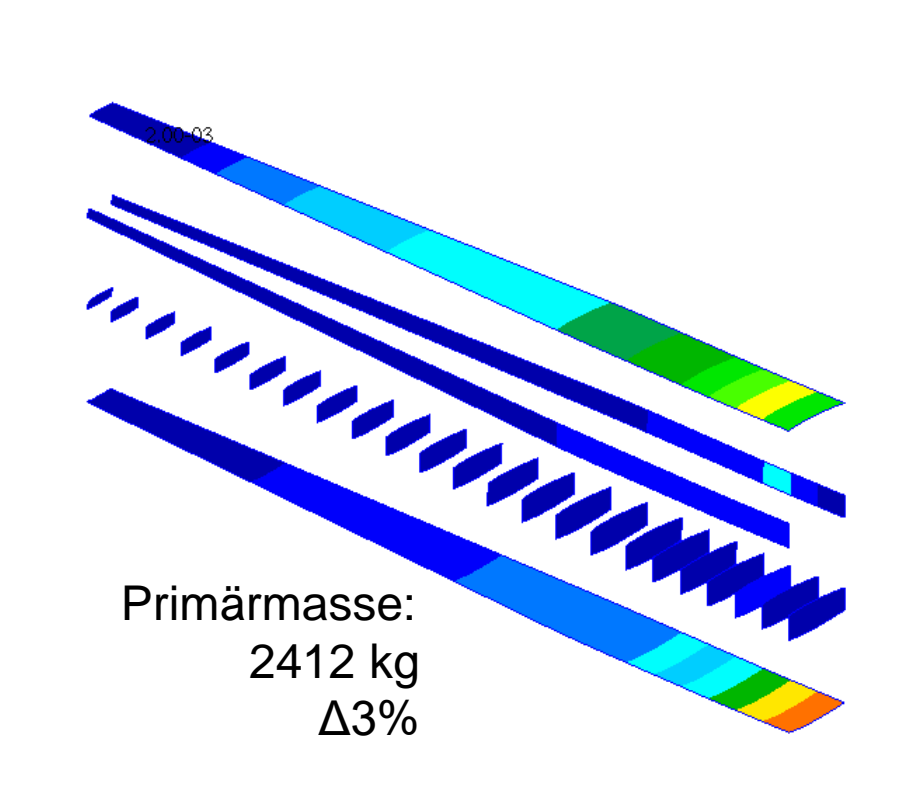
- Verteilte schwere Antriebe senken Eigenfrequenzen
- Böenfrequenzen liegen in der Nähe der ersten Biegung
- Ungepfeilter langgestrekter Flügel
 - Böe trifft den ganzen Flügel nahezu zeitgleich
 - Kaum passive Lastabminderung durch Biege-Torsion-Kopplung
- ightharpoonup WKK Korrektur induziert bei Anstellwinkeländerungen $C_{l\alpha}$ größere Auftriebsänderungen

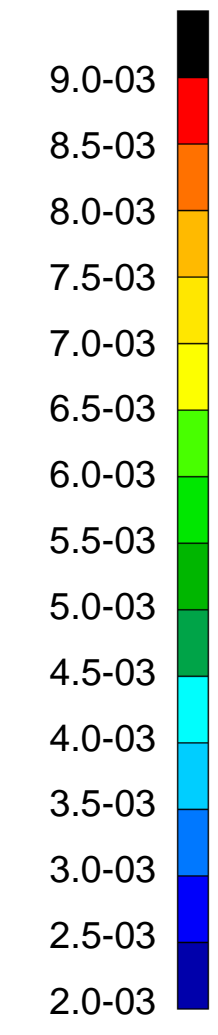
ErgebnisseStrukturdimensionierung







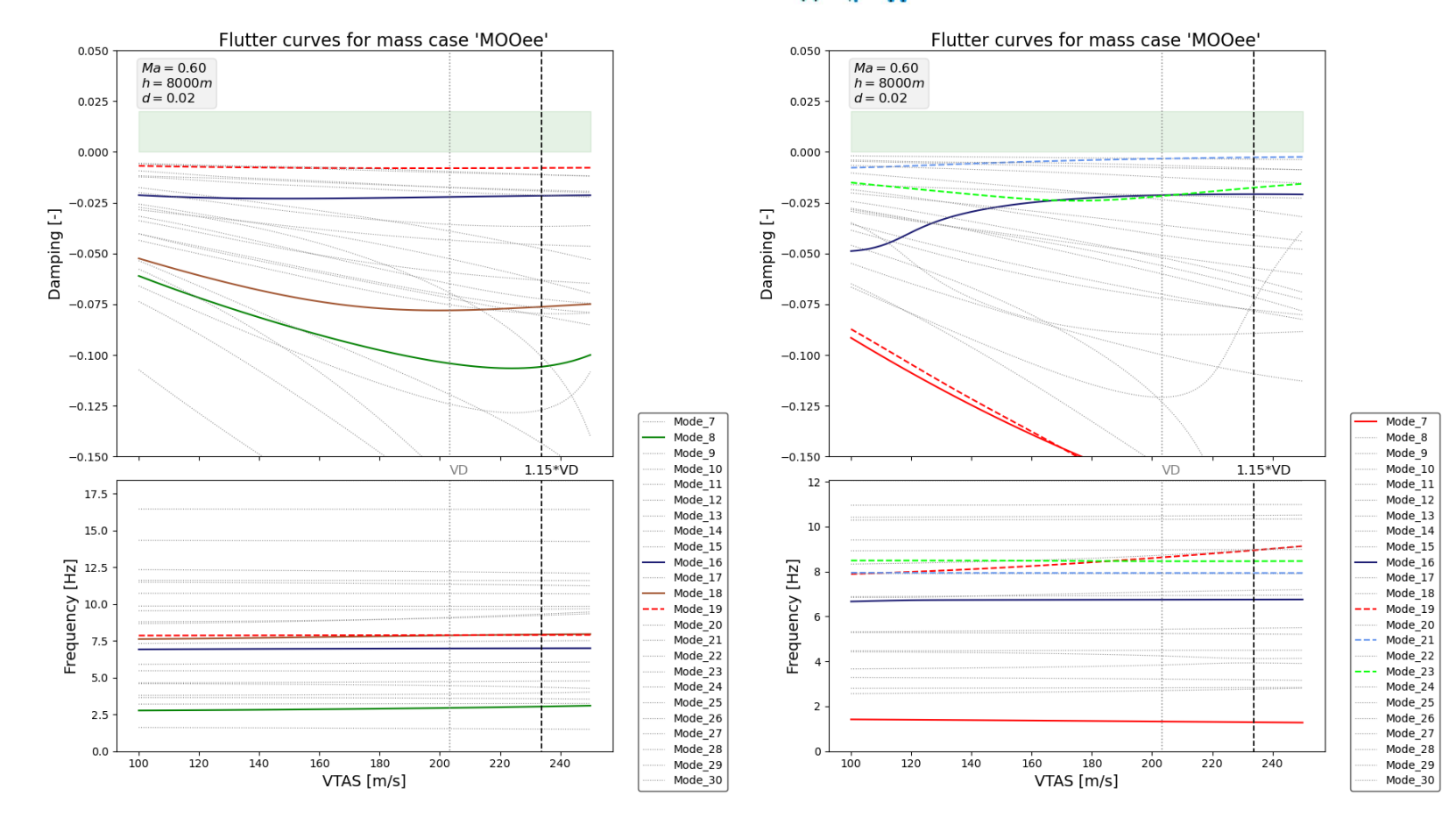




ErgebnisseFlattergeschwindigkeit







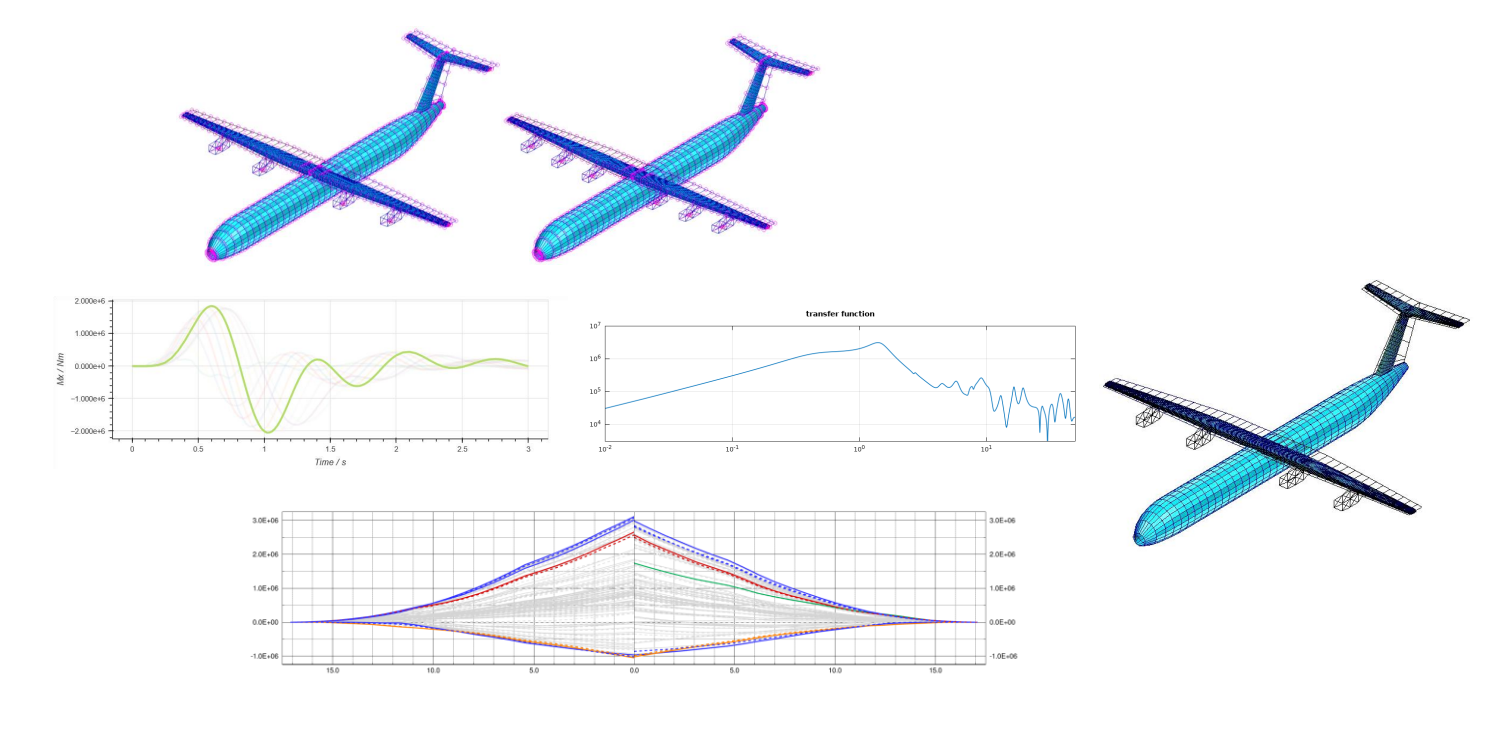
> Flattern für beide Konfigurationen in den Flugbereichsgrenzen unkritisch

Zusammenfassung & Ausblick



Zusammenfassung

- Aeroelastische Modelle aufgebaut
- Vergleich der Konfigurationen
 - Diskussion der Böenlasten
 - Lastanalyse & Dimensionierung
- Identifizierung kritischer Lastfälle



Ausblick

- Weitere Böen Untersuchungen (WKK Korrektur prüfen und mit CFD abgleichen)
- Böen- und Manöverlastabminderung berücksichtigen (definierte Steuerflächenausschläge)
- Propellerlasten und Gyroskopieeffekte einbinden
- Massenverteilung für Systemmassen optimieren
- Material CFK für die Dimensionierung verwenden (EIS2035)

Vielen Dank für Ihre Aufmerksamkeit



Dieses Projekt wird im Rahmen des Luftfahrtforschungsprogramms VI-3 der Bundesregierung durch das Bundesministerium für Wirtschaft und Energie gefördert.

FKZ: 20M2240B

Gefördert durch:



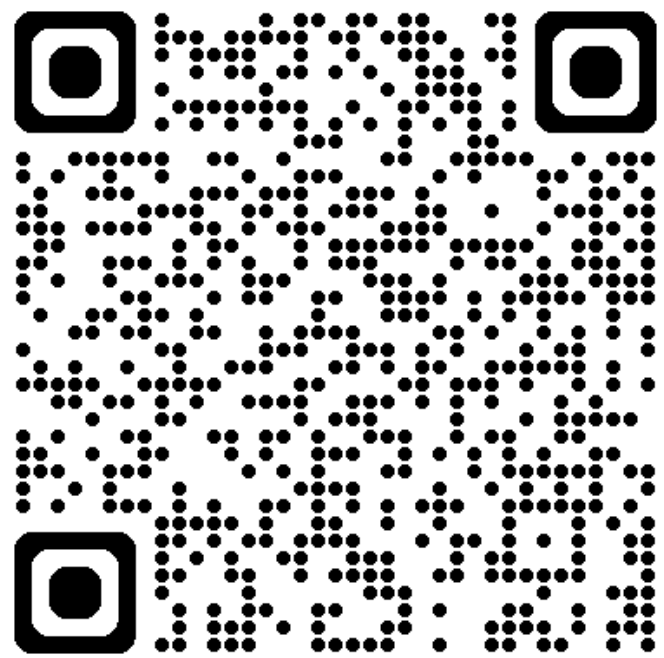


aufgrund eines Beschlusses des Deutschen Bundestages

https://www.dlr.de/de/ae/forschung-und-transfer/projekte/zebra









DLR-Institut für Aeroelastik



Impressum



Thema: Aeroelastische Untersuchung eines Wasserstoff-

Brennstoffzellen-Regionalflugzeuges mit verteilten

Antrieben

Datum: 2025-25-09

Autor: Tobias Hecken, Müller Simon, Thomas Klimmek, Matthias

Schulze

Institut: Institut für Aeroelastik

Bildquellen: Alle Bilder "DLR (CC BY-NC-ND 3.0)",

sofern nicht anders angegeben